

ゾーン生成交通とゾーン生成トリップ数分布モデルに関する研究*

ON THE PRODUCTION TRIPS BY ZONES AND A MODEL OF THE FREQUENCY
DISTRIBUTION OF THE TRIP PRODUCTION BY ZONES

河野雅也・橋本武 ***

By Masaya KAWANO and Takeshi CHISHAKI

The relationships between the production trips and the generating trips are investigated in order to understand the interactive structure of them in detail. The frequency distribution of the trip production by zones, which links the trip production and the trip generation together in a more systematic way, is successively discussed and a model of the trip production by zones is proposed on a basis of the frequency distribution based on the person trip survey in North Kyushu districts.

1. まえがき

ゾーン生成トリップにおける発生交通量は、対象圏域を細分化した、あるゾーンを起点とするトリップの総数であり、各ゾーンの交通からみた活性度を表す一つの重要な指標である。また、交通需要の予測を行なう際には、発生交通量は分布交通量を規定する機能を有し、その結果、さらには以降の段階である市町村交通量、配布交通量にも影響を及ぼす。したがって、発生交通量の予測は、交通需要予測の中でもとりわけ重要な課題であるといえる。

従来の発生交通量予測を考えるには、交通需要予測の第1段階としていきなり発生交通量を検討するものと、まずは対象圏域内で発生する総トリップ数

* キーワード：交通生成、交通需要分析

** 正会員 工修 九州大学助手 工学部土木工学科

*** 正会員 工博 九州大学教授 工学部土木工学科

(〒812 福岡市東区箱崎6-10-1)

をはじめ発生交通量を考え、その後の関連においては発生交通量を求めるとするものの2つがある。前者はトリップ発生法、後者はトリップ生成法と呼ばれるが、区域的な社会経済状況を反映させるなどの点においてトリップ生成法の方がより本質的な現象把握が可能である^{1,2)}。したがって、我が国における多くの都市圏ではトリップ生成法の考え方をとどめ、まずは発生交通量を求めて、ついで発生交通量との関連を考慮しつつ発生交通量を考えるという手法が採用されている。

しかし、実際の発生交通量と発生交通量との関係は、発生交通量のゾーン総和と発生交通量に等しい、それゆえ発生交通量を予測モデルから求め、その総和が発生交通量に一致するように発生交通量を修正するといった程度に過ぎない。しかばね、精度より発生交通量モデルの構築を行なっても、その意義は大きくなないと言はざるを得ない。また、量的に正確かに発生交通量の総和 = 発生交通量という関係が成

立するが、トリップの性質からみると必ずしもそうではない。すなはち、生成交通量は居住地をベースに捉えらるるものであるが、発生交通量はトリップチャインを分解した個々のトリップが有する起点をベースにしている。換言すれば、生成交通量が個人属性を中心とした規則あるものに対し、発生交通量はゾーンの諸特性に大きく支配されるといえよう。よって、生成交通量と発生交通量とは、先の行動ベースが異なるといえ、名目も無視して、発生交通量の総和 = 生成交通量と単純に処理するところは疑問が残る。

以上の認識に立ち、本研究は生成交通量と発生交通量との関係を把握し、両者より有機的な結合法を見出せんとするものであるが、その中、各ゾーンの生成交通量と発生交通量との検定的役割を担うゾーン生成交通量に関する報告するものである。

2. 生成交通量と発生交通量との関係把握

本章では、昭和47年北部九州圏Bゾーントリップ調査データ³⁾をもとに生成交通量と発生交通量との間の関係を探るが、Bゾーンレベル(市町村単位)を対象にする。これは、ゾーン分割を大きくすると、量的にも質的にもあるゾーンの生成交通量 = 発生交通量となり、明瞭な関係がつかめないこと、発生交通量モデルの実際的なゾーン市町村単位以下であることによる。なお、対象地域は北部九州圏全域ではなく、図-1に示す福岡都市圏である。

まず、PT調査データより生成ゾーンすなはち交通行動を行なう人の居住地ゾーンをえらし、発生ゾーンすなはちある交通目的(表-1参照)ごとにトリップの際の起点をえらすトリップ数 X_{ij} を算出した。本研究では、 X_{ij} を要素とする表をP-G表(Production-Generation Table)と称し、その形式は図-2のとおりである。図中にあって、 P_i はゾーン*i*の生成交通量、 G_j はゾーン*j*の発生交通量を示しており、

表-1 交通目的とその内容

交通目的	トリップの内容
1.通勤	勤務先への出勤トリップ
2.通学	通学先への通学トリップ
3.業務1	販売・配達、作業・修理、打合せ・会議等
4.業務2	農耕・漁業作業のためのトリップ
5.私用1	買物、社交・娛樂、食事、レクリエーション等
6.私用2	私事・用務等のトリップ
7.帰宅1	通勤、通学先からの帰宅トリップ
8.帰宅2	帰宅1を除くすべての帰宅トリップ

発生 ゾーン	1	…	<i>j</i>	…	<i>n</i>	列和
1						
⋮						
1			X_{1j}			P_1
⋮						
行和			G_j			

図-2 P-G表

ゾーンすなはちある交通目的(表-1参照)ごとにトリップの際の起点をえらすトリップ数 X_{ij} を算出した。本研究では、 X_{ij} を要素とする表をP-G表(Production-Generation Table)と称し、その形式は図-2のとおりである。図中にあって、 P_i はゾーン*i*の生成交通量、 G_j はゾーン*j*の発生交通量を示しており、

$$P_i = \sum_{j=1}^m X_{ij}, \quad G_j = \sum_{i=1}^n X_{ij} \quad (1)$$

である。 m は生成ゾーン数、 n は発生ゾーン数である。

具体的なP-G表は膨大であるので、ここでは割愛するが、表-2はBゾーン平均の自ゾーン発生率 $X_{ii}/P_i(\%)$ 、および自ゾーン生成率 X_{ii}/G_i

表-2 自ゾーン発生率と自ゾーン生成率

目的	自ゾーン発生率		自ゾーン生成率	
	平均値	標準偏差	平均値	標準偏差
全目的	68.56	6.91	80.32	11.46
通勤	98.72	0.72	99.04	1.09
通学	98.60	0.70	99.27	1.07
業務1	37.69	11.45	57.67	13.07
業務2	96.96	4.39	94.35	15.82
私用1	76.97	5.97	87.60	10.49
私用2	76.88	6.25	85.10	10.84
帰宅1	51.52	7.56	66.97	15.47
帰宅2	67.93	11.43	77.76	11.37

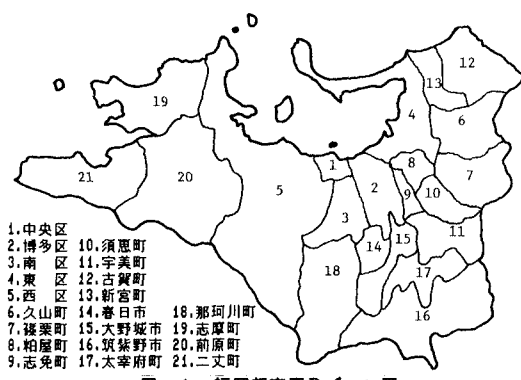


図-1 福岡都市圏Bゾーン図

(%) を示した。このをみると、全目的の自ゾーン発生率からは平均的なゾーンが生成してトリップのうち約69%がそのゾーンを発生地とすることがあり、一方の自ゾーン生成率からは平均的なゾーンが生成するトリップのうち約80%がそのゾーンが生成したものであることがわかる。また、表から明らかなように自ゾーン発生率、生成率はともに交通目的ごとに異なるが、生じる中における値の大小の傾向は両者で概ね同じであるといえる。すなはち、居住地をベースとする通勤、通学、業務2では両者

の値がほぼ100%であるが、従業地をベースとする業務1では38%を低い。また、中間的なものが私用1、2、帰宅1、2である。また、P-E表をもみながらも交通目的の違いによる発生状況パターンの差異を読み取ることができる。

以上のことをより、交通目的ごとに生成交通量と発生交通量の関係は異なるといえ、両者間にどうなる検討あるいはモデル化においては、交通目的別に議論を進めていく必要がある。しかし、通勤、通学および業務2に関しては、あるゾーンの生成交通量＝

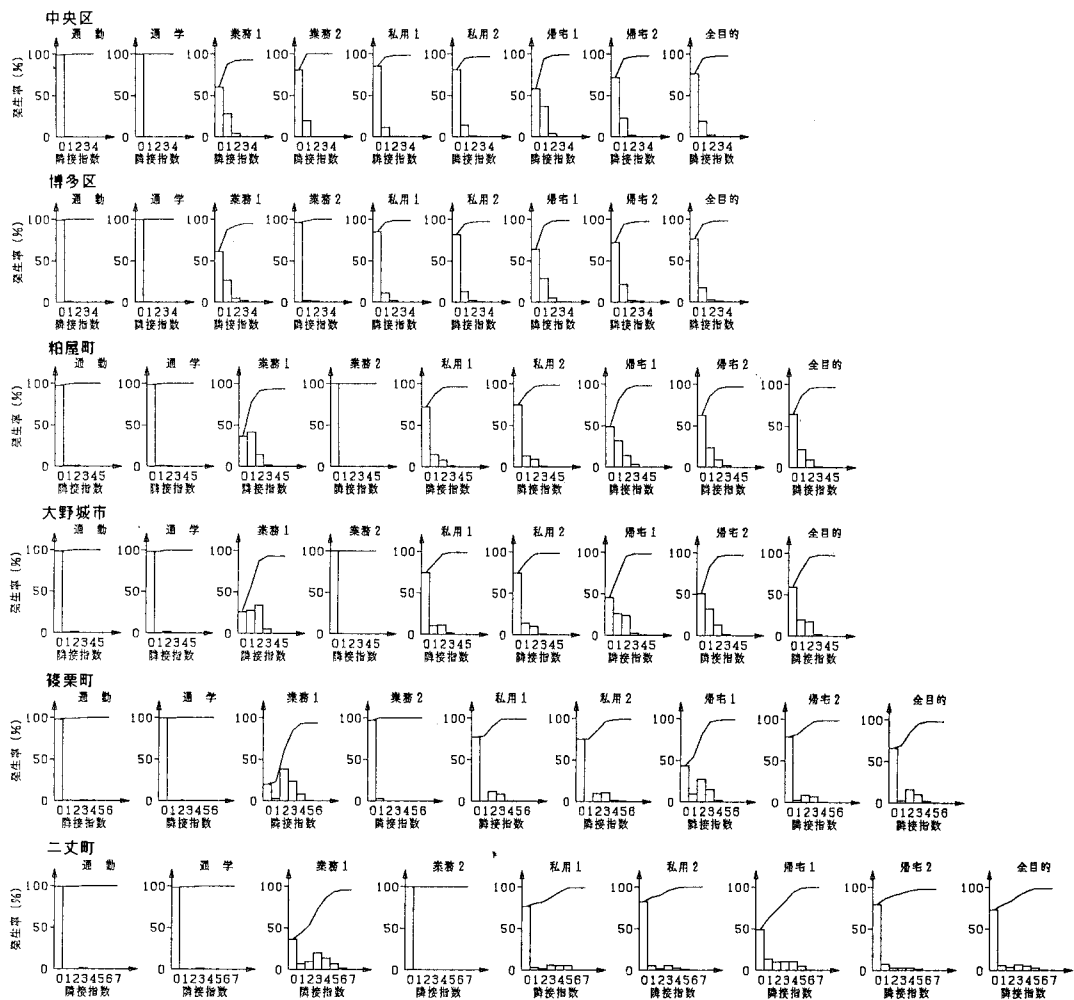


図-3 発生トリップのゾーン分布状況

発生交通量の関係が複雑的、量的に成り立つより、これらについては生成交通量の計の検討をすらあると考えられる。

次に、あるゾーンを生産したトリップがどの周辺ゾーンへの出向から発生するかといった発生トリップのゾーン分布状況(発生状況)について検討を加えた。周辺ゾーンの定義にはいくつものものが考えられるが、ここでは隣接指數⁴⁾にもとづいた周辺ゾーンを対象とする。図-3は発生状況を示したが、隣接指數のはじごん発生率を示しており、また実線は累積発生率を表している。図中の中央区と博多区は都心部、篠栗町と二丈町は郊外部、そして柏原町と大野城市はその中間部の代表地域として挙げている。

図-3中の隣接指數の最大値は、全目的における最大の隣接指數であるが、これはもとより判断すれば都心部から郊外部へ移るにしたがい、生成ゾーンと最遠発生ゾーンとの距離差が大きくなるといえる。ちなみに、郊外部の発生状況は都心部のそれと比べ、面的により大きな広がりを有していることがわかる。

また、図より都心部からは隣接指數の増加とともに発生率が单调に減少するに対し、郊外部、中間部では必ずしも单调減少ではないという特色が読み取れる。たとえば、二丈町の業務地帯がその例である。これは周辺ゾーンの分布状況を反映したものであり、郊外部からは近隣に都心部のようなゾーン活性度の高いゾーンが存在しないためである。

一方、交通目的別の発生状況は各地域を通じて概ね同じであり、よって交通目的別発生状況は空間軸上においては比較的安定したるものであるといえる。

以上より、生成交通量と発生交通量との関係は地域的に異なるものであることがわかり、両者の関係をモデル化する構造的に把握する場合、地域特性を何等かの形で組み込む必要があると考えられる。また、発地を効用理論で公を接続し、選択モデルとして構築するような場合、発生地の代替案集合の設定が大きな問題となるが、図の発生状況は、その設定が各生成ゾーンが共通ではなく、生成ゾーンの特性を踏まえた設定法が必要であることを示唆している。

3. ゾーン生成交通量モデル

前章の検討を踏まえれば、発生交通量の総和とし

て生成交通量を捉えるという方法では、本質的に成交量を考慮したことにならざるといえる。なぜならば、発生交通量の総和=生成交通量といふ量的関係ではなく、現象面でも生成交通量と発生交通量は深く関連しているからである。したがって、生成交通量モデルを検討する意義をより一層大きさずるために、この現象を考慮しなければならない。

しかし、通常の生成交通量モデルが対象とする圏域全体では発生交通量との関連が弱くなる、先の議論を踏まえ、さらには行動ベースを共通にするといつ点から判断すれば、ゾーンレベルにおける生成交通量モデルを作成することが妥当であるといえよう。本研究では、圏域全体を対象とする生成交通量モデルと圏域生成交通量モデル、ゾーンを対象とするものをゾーン生成交通量モデルと称することにする。圏域生成交通量モデルと発生交通量モデルとの間にゾーン生成交通量モデルを介在させることにより、生成交通量と発生交通量などがより有機的に結合することになり、さらに生成交通量を検討する意義がより明確となる。

圏域生成交通量モデルについては、すでに数多くの研究が発表されている。しかし、ゾーン生成交通量モデルに関しては議論がなされていないが、本章においてその検討を行なう。

ここで検討するゾーン生成交通量モデルの基本的な考え方とは、著者らが提案している生成トリップ密度分布のもとで圏域生成交通量モデル^{1), 5)}を準拠するものである。すなはち、生成ゾーン別に生成トリップ数 i ($i = 0, 1, \dots, I$; I は最大生成トリップ数) と交通目的 j ($j = 1, \dots, J$; J は交通目的の数) の同時確率 $q_{ij}^{(m)}$ ($m = 1, \dots, M$; M は生成ゾーン数) を考えることになるが、圏域生成との関係から $q_{ij}^{(m)}$ に関する以下の 2 道の定義が可能である。

$$\sum_{m=1}^M q_{ij}^{(m)} = P_{ij} \quad (2)$$

$$\left. \begin{aligned} \sum_{m=1}^M q_{ij}^{(m)} w_m &= P_{ij} \\ \sum_{ij} q_{ij}^{(m)} &= 1, \quad \sum_m w_m = 1 \end{aligned} \right\} \quad (3)$$

ここで、 P_{ij} は圏域の (i, j) 同時確率 (圏域生成トリップ密度分布) である。式(2)は、生成ゾーン m の活性度に応じて生成量の多寡を初めから $q_{ij}^{(m)}$ に反映

させる方法である。二つに対し、式(3)は、生成ゾーン m をあらわすも一つの園域のように扱って $q_{ijm}^{(m)}$ を求める、その後、生成ゾーン m の活性度を表す重み係数 w_m を乗ずるという方法である。前者は、全城との関連が直接的に反映されるが、モデル化が容易ではない。後者は、重み係数 w_m も同時に考慮しなければならないといふ問題はあるものの、 $q_{ijm}^{(m)}$ の持つ意味が P_{ij} と同じであり、したがってモデル化が比較的容易であるといえる。ところで、本研究では式(3)を採用することにして、 $q_{ijm}^{(m)}$ をゾーン生成トリップ数分布とする。

ゾーン生成トリップ数分布のものは総面積上割愛するが、表-3はゾーン生成トリップ数分布から計算される交通目的別の生成原単位を示す。

表-3 交通目的別生成原単位(トリップ/人・日)

No	通勤	通学	業務1	業務2	使用1	使用2	帰宅1	帰宅2	全目的
1	0.3069	0.2297	0.2942	0.0008	0.4726	0.2611	0.4628	0.5967	2.6248
2	0.3142	0.2230	0.3418	0.0099	0.3971	0.2185	0.4859	0.5636	2.5540
3	0.3386	0.2545	0.3131	0.0038	0.4153	0.2320	0.5202	0.5274	2.6049
4	0.3326	0.2746	0.2485	0.0132	0.3999	0.2293	0.5201	0.5005	2.5187
5	0.3061	0.2583	0.3182	0.0447	0.3870	0.2273	0.4931	0.5525	2.5892
6	0.3955	0.2109	0.2378	0.0776	0.2062	0.1444	0.5159	0.3775	2.1658
7	0.3761	0.2305	0.3048	0.0603	0.3741	0.2389	0.5121	0.5451	2.6419
8	0.3632	0.2403	0.4423	0.0455	0.4477	0.2427	0.5217	0.5658	2.8692
9	0.4053	0.2457	0.4818	0.0185	0.4263	0.2208	0.5609	0.5597	2.9190
10	0.4040	0.2159	0.3792	0.0231	0.3679	0.2023	0.5393	0.5150	2.6467
11	0.3908	0.2330	0.3639	0.0225	0.4133	0.2082	0.5603	0.5218	2.7138
12	0.3426	0.2439	0.3742	0.0855	0.4209	0.2376	0.5352	0.6195	2.8594
13	0.3259	0.2610	0.3953	0.0904	0.4931	0.2623	0.5364	0.6922	3.0566
14	0.3476	0.2593	0.3945	0.0079	0.4272	0.2098	0.5374	0.5061	2.6898
15	0.3514	0.2361	0.4677	0.0173	0.3747	0.2404	0.5280	0.5377	2.7493
16	0.3068	0.2681	0.3448	0.0442	0.3157	0.2359	0.4963	0.5071	2.5189
17	0.3361	0.2577	0.3553	0.0307	0.3224	0.2245	0.5098	0.4612	2.4977
18	0.3184	0.2356	0.2999	0.1125	0.2117	0.1201	0.5044	0.3947	2.1072
19	0.2249	0.2555	0.2097	0.3920	0.3794	0.2387	0.4383	0.9601	3.0986
20	0.2414	0.2694	0.3447	0.1598	0.3252	0.1822	0.4659	0.6404	2.6290
21	0.2562	0.2675	0.2571	0.1944	0.3966	0.1698	0.4922	0.6392	2.6730

二つともに、Bゾーンごとに交通目的別生成原単位が変動することが山からなるが、特に業務2、帰宅2などの変動が大きい。生成原単位が生成トリップ数分布の平均値であることを考えれば、以上のことから、ゾーン生成トリップ数分布は各生成ゾーンの特性を反映して個々に異なると見える。若干の検討の結果、後の差異は全城生成の場合と同じく、年齢、職業、性別などの個人属性の人口構成比分布の相異によるものと判断された。したがって、 P_{ij} と $q_{ijm}^{(m)}$ は同一の概念でモデル化が可能であるといえ、全城生成トリップ数分布モデルの考え方を適用すれば、 $q_{ijm}^{(m)}$ は以下のよう表現せらる。

$$q_{ijm}^{(m)} = \left(\sum_k X_{ijk} \lambda_k \right)^\alpha \cdot \left(\sum_l Y_{ijl} \mu_l \right)^\beta \cdot \left(\sum_h Z_{ijh} \nu_h \right)^\gamma \quad (4)$$

ここで、 X_{ijk} : 性別 i 年齢 j カテゴリー ($k=1, \dots, K$; K は性別カテゴリー数) の (i, j) 同時確率、 Y_{ijl} : 年齢 i 職業 j カテゴリー ($l=1, \dots, L$; L は年齢カテゴリー数) の (i, j) 同時確率、 Z_{ijh} : 職業 i カテゴリー ($h=1, \dots, H$; H は職業カテゴリー数) の (i, j) 同時確率、 λ_k 、 μ_l 、 ν_h : 生成ゾーン m (Bゾーン単位) における性別 i カテゴリー、年齢 j カテゴリー、職業 i カテゴリーの各人口構成比である。

$$\left. \begin{aligned} \sum_{i,j} X_{ijk} &= \sum_{i,j} Y_{ijl} = \sum_{i,j} Z_{ijh} = 1 \\ \sum_k \lambda_k &= \sum_l \mu_l = \sum_h \nu_h = 1 \end{aligned} \right\} \quad (5)$$

が成立する。 X_{ijk} 、 Y_{ijl} 、 Z_{ijh} は個人の交通行動をもとづくものであり、時間的、空間的なことは変化しないと考えらる、ニンズは北部九州圏区域における値を用いることとする。

式(4)中の α 、 β 、 γ はモデルバラメータであるが、両辺の次元的意味を考慮すれば、

$$\alpha + \beta + \gamma = 1 \quad (\alpha, \beta, \gamma > 0) \quad (6)$$

が成立しなければならない。 α の設定には2通り考えらる、第1法は分散分析における分散比などを用いて外生的方

を用いた、第2法は式(4)を回帰式に考え、最小自乗法等を推定する方法である。バラメータの大小により、式(4)の有する意味が異なるから、 α の設定には注意を要するが、今回は両法について検討し、比較してみた。なお、第1法では分散分析における分散比を用い、全城における値つまり $\alpha = 0.392$ 、 $\beta = 0.253$ 、 $\gamma = 0.355$ を全Bゾーンで共通とした。

表-4は、提案モデルの適合度と第2法によるバラメータを示したものである。第1法における重相関係数をみると、最も適合度の悪いゾーン¹⁹でも $R = 0.967$ となり、全体的にはモデル精度の低下は少ないと見える。第2法によるバラメータ設定では、概ね $\alpha = \beta = \gamma = 1/3$ といえるが、生成ゾーンの

表-4 モデルの適合度とパラメータ

ゾーン	第1法		第2法				$\times 10^{-2}$
	R	R.M.S.	α	β	γ	R	
1	0.9944	0.2807	0.3192	0.3254	0.3553	0.9944	0.2801
2	0.9957	0.2473	0.3187	0.3388	0.3475	0.9957	0.2462
3	0.9983	0.2216	0.3399	0.3366	0.3265	0.9983	0.2212
4	0.9979	0.2354	0.3340	0.3367	0.3293	0.9978	0.2369
5	0.9985	0.1546	0.3270	0.3362	0.3368	0.9985	0.1555
6	0.9984	0.1770	0.3347	0.3303	0.3350	0.9984	0.1755
7	0.9963	0.2282	0.3349	0.3364	0.3287	0.9963	0.2273
8	0.9900	0.4387	0.3360	0.3331	0.3309	0.9900	0.4394
9	0.9932	0.3160	0.3478	0.3323	0.3199	0.9932	0.3156
10	0.9937	0.3456	0.3293	0.3321	0.3386	0.9938	0.3455
11	0.9951	0.2766	0.3219	0.3409	0.3372	0.9950	0.2785
12	0.9937	0.3195	0.3226	0.3330	0.3344	0.9937	0.3194
13	0.9887	0.4307	0.3276	0.3290	0.3434	0.9886	0.4313
14	0.9964	0.2303	0.3360	0.3250	0.3389	0.9963	0.2319
15	0.9970	0.2367	0.3308	0.3331	0.3362	0.9970	0.2366
16	0.9950	0.2648	0.3314	0.3351	0.3336	0.9951	0.2642
17	0.9942	0.2882	0.3563	0.3433	0.3004	0.9942	0.2885
18	0.9709	0.6707	0.3815	0.3435	0.2750	0.9707	0.6718
19	0.9671	0.7115	0.3231	0.3057	0.3711	0.9669	0.7135
20	0.9875	0.4366	0.3147	0.3190	0.3693	0.9877	0.4304
21	0.9813	0.5077	0.3170	0.3262	0.3568	0.9814	0.5052

(注) R=重相関係数, R.M.S.=RMS誤差

持性を反映して微妙に異なる。また、適合度も第1法と同様高い。しかがって、両法いずれによつてもモデル化はもろう精度低下は小さく、ここに全域生成トリップ分布モデルをゾーン生成トリップ分布モデルとのまま連用する妥当性を見い出すことができるよう。

モデル精度低下が少ないとこは前へ触れたが、ゾーン全体からみて強いて適合度の悪いゾーンを挙げれば、那珂川町(18)、志摩町(19)、前原町(20)、二丈町(21)などがある。モデル精度の低下が何ら起因するかは、さらなる検討をまだおこなっていないが、生じたゾーンが外部に位置することを考えれば、ゾーン活性度の低、地域においてモデル精度の低下が生じると推察される。

第2法は、「残差平方和を最小にする」という基準の下でパラメータを推定するものであるから、一般的に適合度は第1法よりも高くなることからわかる。しかし、実際にはその逆の結果になつて3ケースを見られる。これは、最適なパラメータが必ずしも式(6)を満足しないから、式(6)を制約条件としてパラメータを推定したところによる弊害と思われる。しかがって、提案モデルにおいては第2法は必ずしも最適値としてのパラメータを与えるとは限らないことに注意を要する。

4. あとがき

本研究は、従来の生成交通量と発生交通量との関連把握が不十分なため、兩者が有機的結合せざるべきないという問題認識に立ち、生成交通量と発生交通量の既略的関係について論じたものである。その結果、生成交通量を2つの観点、すなはち全域生成とゾーン生成を捉え、ゾーン生成交通量を全域生成交通量と発生交通量との間に存在させることによって、生成交通量と発生交通量をより有機的結合できることが明らかにされた。また、この考え方によつて、生成トリップ分布の概念もしくはゾーン生成交通量モデルについて検討し、一応妥当な結果を得た。

しかし、ゾーン生成交通量と全域生成交通量との関係、ゾーン生成交通量モデルと発生交通量モデルとの関係を明らかにするも、まだ問題点が残るところもあり、今後は生じらるを中心課題にして、さらに生成交通と発生交通の関係把握に努める所存である。

参考文献

- 1) 橋木・河野・平田:ゾーントリップモデルにおける生成トリップ分布モデルに関する研究(土木学会論文集稿中)。
- 2) 佐佐木:都市交通計画、国民科学社。
- 3) 北部九州圏ゾーントリップ調査報告書。
- 4) 河野・橋木:ゾーン内々交通量予測モデルに関する考察、第38回年次学術講演会講演概要集。
- 5) 河野・橋木:生成トリップ分布モデルに関する研究、第6回土木計画学会研究発表会講演集。